

Poopćene partonske distribucije

Filip Bilandžija

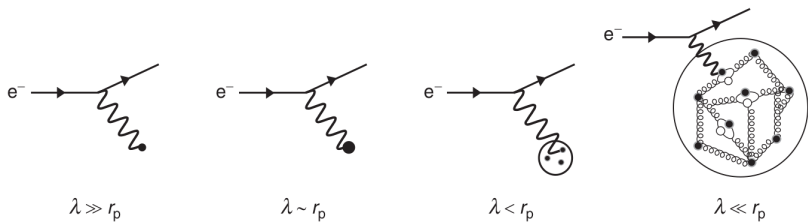
Mentor: prof. dr. sc. Krešimir Kumerički

26. siječnja 2023.



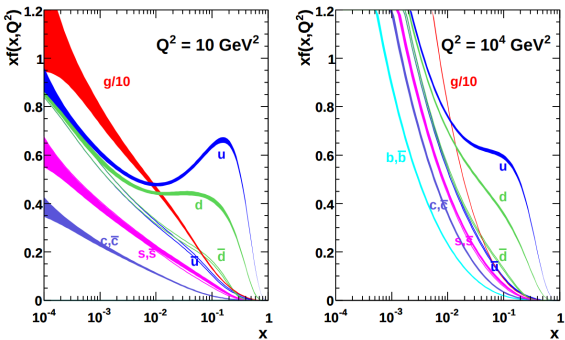
fbilandz.phy@pmf.hr

- Elektron međudjeljuje s protonom izmjenom virtualnog fotona
- Rezultat raspršenja uvelike ovisi o valnoj duljini virtualnog fotona
- Na višim energijama dobivamo bolji uvid u strukturu protona



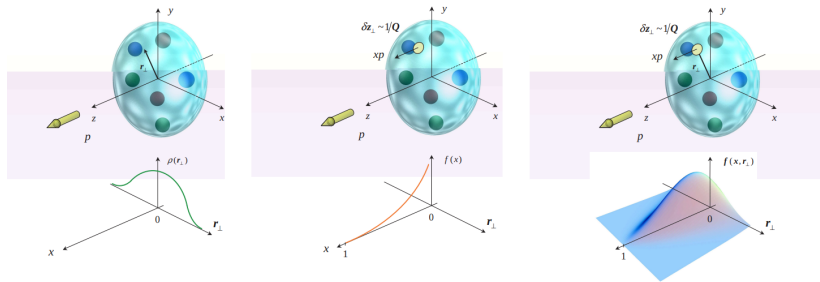
Slika: Ovisnost prirode raspršenja elektrona na protonu u odnosu na valnu duljinu virtualnog fotona. Preuzeto iz [1].

- Iz DIS eksperimenata dobivamo uvid u strukturu protona preko PDF-ova i nuklearnih form faktora
- PDF-ovi predstavljaju longitudinalnu distribuciju impulsa partona
- Nuklearni form faktori predstavljaju transverzalnu raspodjelu naboja u nukleonu



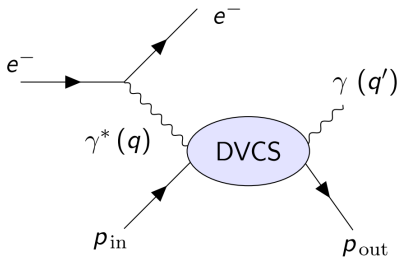
Slika: Protonski PDF-ovi. Preuzeto iz [2].

- PDF-ovi i nuklearni form faktori zajedno nam ne daju punu kvalitativnu sliku raspodjele partona u protonu
 - ▶ Drugim riječima, ne daju nam 3D sliku strukture protona
- ⇒ Uvodimo poopćene partonske distribucije (GPD)



Slika: Probabilistička interpretacija form faktora, PDF-ova i GPD-ova za $\eta = 0$. Preuzeto iz [3].

- GPD-ove možemo proučavati kroz ekskluzivne procese:
 - ▶ Najjednostavniji od njih je duboko virtualno komptonsko raspršenje
- Dobivamo pristup informacijama poput raspodjele transverzalnog impulsa, angуларног момента i tlaka u protonu



Slika: Duboko virtualno komptonsko raspršenje. Preuzeto iz [4].

- GPD očigledno sadrži više informacija od PDF-a, stoga ovisi o više varijabli:
 - ▶ $x = \frac{k^+ + k'^+}{2P^+}$, gdje su k i k' longitudinalni impulsi emitiranog i apsorbiranog kvarka, što odgovara frakciji longitudinalnog impulsa
 - ▶ $\eta = -\frac{\Delta^+}{P^+}$ - varijabla asimetrije, otprilike odgovara izmjeni impulsa
 - ▶ t - Mandelstanova varijabla
 - ▶ Q^2 - izmjena energije, relativno slaba pa se često ni ne piše
- Konvencija - koordinate svjetlosnog stošca: $a^\pm = \frac{1}{\sqrt{2}}(a^0 \pm a^3)$ i $a = (a^+, \mathbf{a}, a^-)$.
- Definicija GPD-a, primjerice u nepolariziranom kvarkovskom sektoru:

$$F^q = \frac{1}{2} \int \frac{dz^-}{2\pi} e^{i\pi P^+ z^-} \langle p' | \bar{q}(-z) \gamma^0 q(z) | p \rangle \Big|_{z^+=0, \mathbf{z}=0} \quad (1)$$

- Ovisnost o Q^2 dobro je poznata:
 - ▶ Evolucijom po Q^2 možemo ispitivati i dobiti više informacija o ovisnosti GPD-a o drugim varijablama
- Jednadžba evolucije u vodećem redu je:

$$Q \frac{d}{dQ} F^q(x, \eta, \gamma^{(0)}, Q^2) = -\frac{\alpha_s(Q)}{2\pi} \gamma^{(0)} \otimes F^q(x, \eta, \Delta^2, Q^2), \quad (2)$$

gdje je operator konvolucije definiran kao:

$$\gamma^{(0)} \otimes F^q(x, \eta, \Delta^2, Q^2) \equiv \int_{-\infty}^{\infty} \frac{dy}{|\eta|} \gamma^{(0)} \left(\frac{x}{\eta}, \frac{y}{\eta} \right) F^q(y, \eta, \Delta^2, Q^2) \quad (3)$$

- Evolucijski kernel $\gamma^{(0)}$ pritom je dan izrazom:

$$\gamma^{(0)}(x, y) = \left[\Theta(x, y) \frac{1+x}{1+y} \left(1 + \frac{2}{y-x} \right) + \Theta(-x, -y) \frac{1-x}{1-y} \left(1 + \frac{2}{x-y} \right) \right]_+, \quad (4)$$

gdje +-znak u indeksu zgrade označava izraz

$[K(x, y)]_+ = K(x, y) - \delta(x - y) \int dz K(z, y)$, a $\Theta(x, y)$ je skraćena notacija za izraz:

$$\Theta(x, y) = \text{sign}(1+y) \theta\left(\frac{1+x}{1+y}\right) \theta\left(\frac{y-x}{1+y}\right) \quad (5)$$

- Potpuno netrivialna konvolucija
- Evolucijski kernel je dijagonalan u bazi Gegenbauerovih polinoma
 - ▶ Uvodimo konformne momente

- Konformni momenti GPD-a definirani su relacijom:

$$F_n(\eta, t) = \int_{-1}^1 dx c_n(x, \eta) F(x, \eta, t), \quad (6)$$

gdje je $F(x, \eta, t)$ GPD, dok je c_n dan izrazom:

$$c_n(x, \eta) = \eta^n \frac{\Gamma(3/2)\Gamma(1+n)}{2^n\Gamma(3/2+n)} C_n^{3/2} \left(\frac{x}{\eta} \right), \quad (7)$$

kod kojeg $C_n^{3/2}$ označava Gegenbauerov polinom

- Uvođenjem konformnih momenata, jednadžba evolucije se pojednostavljuje na:

$$Q \frac{d}{dQ} F_j^q(\eta, t, Q^2) = -\frac{\alpha_s(\mu)}{2\pi} \gamma_j^{(0)} F_j^q(\eta, t, Q^2) \quad (8)$$

- Više nemamo netrivialnu konvoluciju na desnoj strani, nego imamo jednostavno množenje
- U prostoru konformnih momenata (j-prostoru) jednostavnije je korigirati GPD-ove nego u prostoru frakcije longitudinalnih impulsa (x-prostoru)

- GPD-ove je u j -prostoru teško interpretirati
- Važna fizikalna svojstva GPD-ova vidljiva su tek u x -prostoru:
 - ▶ GPD povezan s raspodjelom kvarkova po momentu i položaju
 - ▶ Poznavanje GPD-ova u x -prostoru rješava problem spina protona
 - ▶ GPD-ovi u x -prostoru daju pristup matričnim elementima tenzora energije i impulsa poput tlaka u protonu
- Stoga, važna nam je transformacija iz j -prostora u x -prostor.

- Problem inverza riješen uvođenjem analitičkog produljenja Gegenbauerovih polinoma p_j :

$$p_j(x, \eta) = \theta(\eta - |x|)\eta^{-j-1} \mathcal{P}_j\left(\frac{x}{\eta}\right) + \theta(x - \eta)\eta^{-j-1} \mathcal{Q}_j\left(\frac{x}{\eta}\right) \quad (9)$$

gdje su \mathcal{P}_j i \mathcal{Q}_j definirani kao:

$$\mathcal{P}_j(x) = \frac{2^{j+1}\Gamma(5/2+j)}{\Gamma(1/2)\Gamma(1+j)}(1+x)_2F_1\left(-j-1, j+2, 2; \frac{x+1}{2}\right) \quad (10)$$

$$\mathcal{Q}_j(x) = -\frac{\sin(\pi j)}{\pi}x^{-j-1}_2F_1\left(\frac{j+1}{2}, \frac{j+2}{2}, \frac{5}{2}+j; \frac{1}{x^2}\right) \quad (11)$$

- Inverz je onda dan tzv. Mellin-Barnes (MB) integralnom transformacijom:

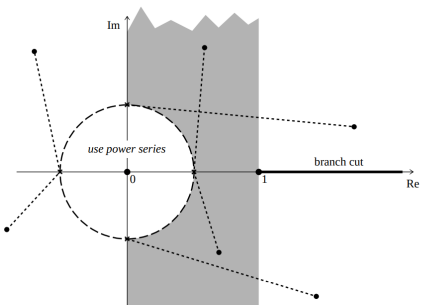
$$F(x, \eta, t) = \frac{1}{2i} \int_{c-i\infty}^{c+i\infty} dj \frac{1}{\sin(\pi j)} p_j(x, \eta) F(\eta, t). \quad (12)$$

- Problem kod funkcija \mathcal{P}_j i \mathcal{Q}_j je što u sebi sadrže hipergeometrijsku funkciju
 - ▶ U Python-u dosad nije postojala implementacija hipergeometrijske funkcije koja podržava kompleksne parametre
 - ▶ Srećom, postoji implementacija u C-u (iz knjige *Numerical Recipes in C*) koju možemo prilagoditi.
- Algoritam dijeli na prostor na dva područja: $|z| \leq 0.5$ i $|z| > 0.5$
- $|z| \leq 0.5$ - red dovoljno brzo konvergira

$${}_2F_1(a, b, c; z) = 1 + \frac{ab}{c} \frac{z}{1!} + \frac{a(a+1)b(b+1)}{c(c+1)} \frac{z^2}{2!} + \dots \quad (13)$$

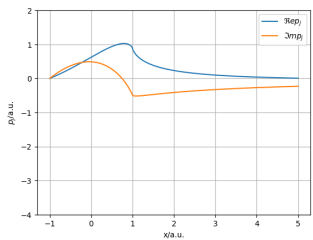
- $|z| > 0.5$ - računamo red za $z_0 +$ integriramo put od točke z_0 do točke z_1 pomoću diferencijalnih jednadžbi:

$$\begin{aligned}\frac{dF}{ds} &= (z_1 - z_0)F', \\ \frac{dF'}{ds} &= (z_1 - z_0) \left(\frac{abF - [c - (a + b + 1)z]F'}{z(1 - z)} \right)\end{aligned}\quad (14)$$

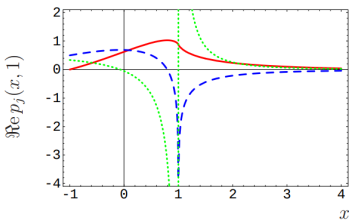


Slika: Skica funkcioniranja algoritma. Preuzeto iz [5].

- Nakon implementacije hipergeometrijske funkcije, bilo je moguće implementirati \mathcal{P}_j i \mathcal{Q}_j , pa potom i p_j
- Implementirani p_j je zatim trebalo i testirati



(a) Realni (plavo) i imaginarni (narančasto) dio p_j .



(b) Realni dio p_j (crvena linija) i njegova prva i druga derivacija.
Preuzeto iz [6].

- Za samu transformaciju iz j-prostora u x-prostor, potreban nam je integral:

$$F(x, \eta, t) = \frac{1}{2i} \int_{c-i\infty}^{c+i\infty} dj \frac{1}{\sin(\pi j)} p_j(x, \eta) F(\eta, t). \quad (15)$$

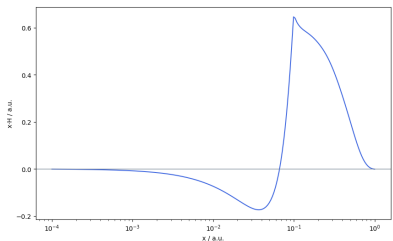
- Za numeričko izvrednjavanje to je potrebno pretvoriti u normalni realni integral
- Korištenjem $f(\bar{z}) = \overline{f(z)}$, integral moguće je pretvoriti u integral:

$$\frac{1}{2i} \int_{c-i\infty}^{c+i\infty} dj f(j) = \left(e^{i\phi} \int_0^\infty dy f(j = c + ye^{i\phi}) \right) \quad (16)$$

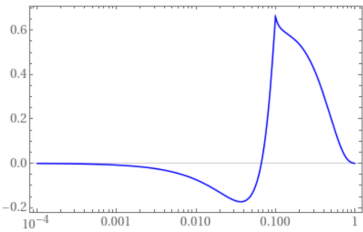
- Za prve testove smo koristili jednostavnu GPD funkciju u j-prostoru oblika

$$H_j = 2 \frac{B(1/2 + j, 4)}{B(1/2, 4)} = 2 \frac{(1/2)_4}{(1/2 + j)_4} \quad (17)$$

- Pritom smo prvotno fiksirali $\eta = 0.1$

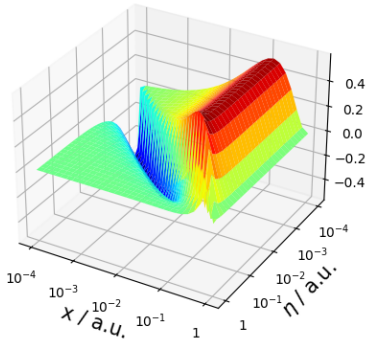


(a) Nacrtano u Pythonu.

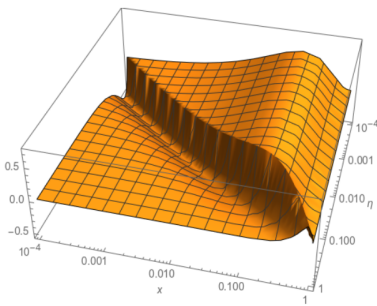


(b) Nacrtano u Wolfram Mathematici.

- Nakon dobrog slaganja u grafovima na prethodnom slide-u, fiksni η zamijenili smo ovisnošću o η i dobili 3D grafove



(a) Nacrtano u Pythonu.



(b) Nacrtano u Wolfram Mathematici.

- Prvotni kod se izvršavao oko 2 i pol minute za 2D graf, te čak 30 minuta za 3D graf
 - ▶ Optimizacija je bila nužna
- Kod se isprva izvršavao za jednu po jednu točku
 - ▶ Vektorizirali smo ga pomoću numpy paketa
 - ▶ numpy paket posjeduje korutine napisane u C-u za račun s matricama
- Vektorizacija nije svugdje pomogla - negdje je čak i usporila stvari
- Optimiziran kod je sadržavao vektorizirane i sekvensijalne dijelove

- Za integraciju smo isprva koristili funkcija `scipy.quad`
 - ▶ Namijenjena za širok spektar problema
 - ▶ Upravo zbog svoje široke primjene, ne posjeduje željene performanse
- Stoga smo je zamijenili integracijom Gauss–Legendrovom kvadraturom
 - ▶ Svodi računanje integrala na sumu po točkama s različitim težinama
- Podijelili smo područja integracije na 12 intervala danih sa sljedećim točkama: [0., 0.01, 0.08, 0.15, 0.3, 0.5, 1.0, 1.5, 2.0, 4.0, 6.0, 8.0, 10.0]
 - ▶ U svakom intervalu zatim provodimo Gauss–Legendrovu kvadraturu
 - ▶ Na kraju sve doprinose zbrajamo i dobivamo vrijednost integrala

- Rješavanje diferencijalnih jednadžbi prvo preko `scipy.odeint`
 - ▶ Slični problemi kao i s `scipy.quad`
 - ▶ Zamjenjena s Runge-Kutta metodom
- Runge-Kutta metoda - iterativna metoda za rješavanja problema početne vrijednosti
- Sveukupan efekt naših optimizacija je bilo drastično ubrzanje izvršavanja koda
 - ▶ 2D graf: 2.5 min → 7s
 - ▶ 3D graf: 30 min → 20s

- [1] Mark Thomson. Modern particle physics. New York: Cambridge University Press, 2013. ISBN: 978-1-107-03426-6. DOI: 10.1017/CBO9781139525367.
- [2] A. D. Martin i dr. "Parton distributions for the LHC". The European Physical Journal C 63.2 (srpanj 2009.), str. 189–285. DOI: 10.1140/epjc/s10052-009-1072-5. URL: <https://doi.org/10.1140%2Fepjc%2Fs10052-009-1072-5>.
- [3] A.V. Belitsky i A.V. Radyushkin. "Unraveling hadron structure with generalized parton distributions". Physics Reports 418.1-6 (listopad 2005.), str. 1–387. DOI: 10.1016/j.physrep.2005.06.002. URL: <https://doi.org/10.1016%2Fj.physrep.2005.06.002>.

- [4] Cédric Mezrag. "An Introductory Lecture on Generalised Parton Distributions". Few-Body Systems 63.3 (kolovoz 2022.). DOI: 10.1007/s00601-022-01765-x. URL: <https://doi.org/10.1007%2Fs00601-022-01765-x>.
- [5] William H. Press i dr. Numerical Recipes in C. Second. Cambridge, USA: Cambridge University Press, 1992.
- [6] D. Müller i A. Schäfer. "Complex conformal spin partial wave expansion of generalized parton distributions and distribution amplitudes". Nuclear Physics B 739.1-2 (travanj 2006.), str. 1–59. DOI: 10.1016/j.nuclphysb.2006.01.019. URL: <https://doi.org/10.1016%2Fj.nuclphysb.2006.01.019>.

- [7] Krešimir Kumerički, Simonetta Liuti i Hervé Moutarde. "GPD phenomenology and DVCS fitting". The European Physical Journal A 52.6 (lipanj 2016.). DOI: 10.1140/epja/i2016-16157-3. URL: <https://doi.org/10.1140%2Fepja%2Fi2016-16157-3>.
- [8] Marko Cvitković. "Proučavanje duboko virtualnog komptonskog raspršenja pomoću strojnog učenja". Mag. rad. Sveučilište u Zagrebu, Prirodoslovno-matematički fakultet, 2020. URL: <https://urn.nsk.hr/urn:nbn:hr:217:651085>.
- [9] Ivan Čorić. "Istraživanje kvarkovsko-gluonske strukture protona pomoću strojnog učenja". Mag. rad. Sveučilište u Zagrebu, Prirodoslovno-matematički fakultet, 2019. URL: <https://urn.nsk.hr/urn:nbn:hr:217:856388>.

- [10] Sebastian Horvat. Funkcije strukture protona. 2019. URL: https://www.pmf.unizg.hr/_download/repository/sem2019/semHorvat.pdf.
- [11] Valerio Bertone i dr. "Revisiting evolution equations for generalised parton distributions".
The European Physical Journal C 82.10 (listopad 2022.).
DOI: 10.1140/epjc/s10052-022-10793-0. URL: <https://doi.org/10.1140%2Fepjc%2Fs10052-022-10793-0>.